

## A study on the improvement of uniformity of dust extraction from multicyclone dust collectors

*The paper presents a possible improvement of uniformity of dust extraction from individual cyclones of a multi-cyclone air filter with modifications of the dust collector design. The suggested dust collector model is divided into segments, with insulated extraction ducts, assigned to a specific number of individual cyclones. The concept of the division into extraction ducts and segments is presented based on the air filter multicyclone of a special tracked vehicle. A physical and mathematical model of the dust collector segment is presented, and the heights of individual extraction ducts are calculated.*

**Key words:** *internal combustion engine, air filtration, multicyclone, dust collector, extraction rate, extraction uniformity, extraction efficiency*

### Analiza możliwości poprawy równomierności odsysania pyłu z odpylacza multicyklonowego

*W artykule przedstawiono możliwość poprawy równomierności odsysania pyłu z pojedynczych cyklonów multicyklowego filtra powietrza, polegającą na zmianie formy konstrukcyjnej osadnika pyłu. Zaproponowano model osadnika pyłu podzielonego na segmenty mające odizolowane od siebie kanały odsysania, którym przyporządkowano określona liczbę cyklonów. Ideę podziału na segmenty i kanały odsysania przedstawiono na przykładzie multicyklu filtra powietrza gąsienicowego pojazdu specjalnego. Przedstawiono model fizyczny i matematyczny konstrukcji segmentu osadnika pyłu. Wykonano obliczenia wysokości kanałów odsysania.*

**Słowa kluczowe:** *silniki spalinowe, filtracja powietrza, multicyklon, osadnik pyłu, stopień odsysania, równomierność odsysania, skuteczność odpylanina*

### 1. Introduction

Engine intake systems of many off-road vehicles and machines operated in high air dustiness ( $> 1 \text{ g/m}^3$ ) are fitted with two-stage filters, where the first air filtration stage includes a multi-cyclone. Multi-cyclones include several to a few dozen filter elements (cyclones) in parallel and are mainly used in intake air filters of tank engines (domestic: PT-91, T-72, and T-55AM and foreign: Leopard 2 and Abrams), trucks (Volvo, Scania), off-road trucks (Star 266) and machines (Bizon harvester). The dust separated by individual cyclones is collected in a common receptacle (dust collector) and removed, most often in a constant extraction process.

Dust extraction from a cyclone dust collector significantly improves the dust extraction efficiency. As results from available studies, multi-cyclone performance as a unit at the same flow parameters and suction rates are considerably inferior to the total performance of individual cyclones. Many years of experience have shown that the simplest solution to remove the dust from a multi-cyclone dust collector to a single, common receptacle, where the stream is extracted via a single port, results in a significant reduction of dust collector efficiency, even by 10% compared to a single cyclone [1, 2, 4, 5].

The reduction is due to backflow-caused non-uniform gas distribution between individual cyclones. The studies of ejector dust extracting systems from multicyclones in various air filters showed high variation in  $Q_{sc}$  stream values extracted from individual cyclones with a common dust collector [6, 9, and 10]. The conclusion is simple – an extraction system

### 1. Wstęp

Układy dolotowe silników napędowych wielu terenowych pojazdów mechanicznych, a także maszyn roboczych, eksploatowanych w warunkach dużego (powyżej  $1 \text{ g/m}^3$ ) zapylenia powietrza wyposaża się w filtry dwustopniowe, w których pierwszym stopniem oczyszczania powietrza są multicykony. Są to zazwyczaj zespoły składające się z kilku do kilkudziesięciu elementów filtracyjnych (cyklonów) połączonych równolegle. Multicykony stosuje się głównie w filtrach powietrza wlotowego silników czołgowych (na przykład krajowych: PT-91, T-72, T-55AM i za granicą: Leopard 2 i Abrams), a także w samochodach ciężarowych (Volvo oraz Scania) i ciężarowo-terenowych (Star 266) oraz w maszynach roboczych (kombajn Bizon). Odseparowany w każdym z pojedynczych cyklonów pył jest gromadzony we wspólnym kolektorze (pojemniku), zwany osadnikiem pyłu, skąd następnie jest usuwany najczęściej przez ciągłe odsysanie.

Zastosowanie odsysania pyłu z osadnika cyklonu powoduje zauważalny wzrost jego skuteczności odpylanina. Z prac poświęconych temu problemowi wynika, że przy zachowaniu jednakowych kryteriów przepływu i tym samym stopniu odsysania, osiągi multicyklonu jako całości bywają jednak znacznie gorsze od osiągów pojedynczych cyklonów, z których jest on zbudowany. Liczne doświadczenia wykazały, że najprostsze rozwiązanie odprowadzania zanieczyszczeń z odpylacza multicyklonowego do jednego, wspólnego dla wszystkich cyklonów osadnika, z którego strumień odsysany jest jednym króćcem, powoduje wyraźny spadek

with common dust collector does not provide uniform extraction rate for each cyclone in a multi-cyclone, and more efficient solution is required.

## 2. The effect of multi-cyclone design on uniform dust extraction from individual cyclones

The dust is extracted by an air stream  $Q_s$ , a part of an intake air stream (contaminated)  $Q_0$  to the multi-cyclone (Fig. 1).

$$Q_0 = Q_G + Q_s, \quad (1)$$

where:  $Q_G$  – engine intake filter outlet air stream.

As results from the analysis of available multicyclone and dust extraction systems designs, if a dust collector is common for several dozen cyclones, and the dust is extracted via one or two ports the following occurs [2, 4, 6, 10 and 13]:

- extracted stream values differ between individual cyclones,
- whirling streams from cyclones entering a common dust collector interact with each other,
- backflow in cyclones at the multi-cyclone perimeter is possible.

The analysis of the effect of the multicyclone and dust collector design on  $Q_{SC}$  stream values extracted from a single cyclone of a special vehicle air filter was conducted on three multi-cyclones under working names: T1, T2 and T3 [7].

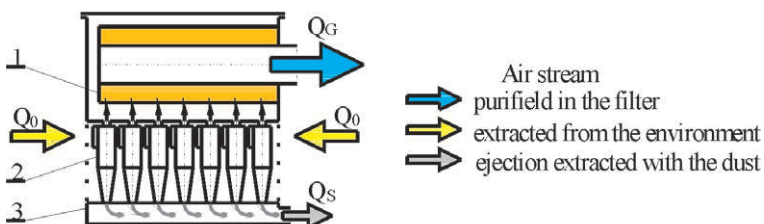


Fig. 1. Air stream flow in a two-stage filter with ejection dust extraction in a multicyclone – porous screen system

Rys. 1. Przepływ strumieni powietrza w filtrze dwustopniowym z ejekcyjnym odsysaniem pyłu i działającym w systemie: multicyklon-przegroda porowata

The general design of the engine air filter multi-cyclones selected for research (T1, T2 and T3) is similar. The cyclones, arranged in rows and columns are mounted on a rectangular plate (Fig. 2), which is the top wall of a dust collector. The T1 and T2 multicyclones are made of respectively 96 and 54 identical, vertically arranged D-40 cyclones (return with tangential inlet) with internal diameter  $D = 40$  mm at the cylindrical section. The T3 multicyclone is made of 39, horizontally arranged return cyclones with tangential inlet with internal diameter  $D = 35$  mm.

The tested multi-cyclones' dust collector is an empty chamber shaped like a flat cuboid. Dust is extracted via one (T3) or two (T1, T2) extraction ports at the front

skuteczności odpylacza, niekiedy o około 10% w stosunku do pojedynczego cyklu [1, 2, 4, 5].

Przyczyną spadku efektywności odpylania multicyklow jest, spowodowany zwrotnymi przepływaniami, nierównomierny rozdział gazu na poszczególne cykly. Przeprowadzone badania eksperymentalne ejekcyjnych układów odsysania pyłu z multicyklonem w różnych filtrach powietrza wykazały duże zróżnicowanie wartości strumieni odsysanych  $Q_{SC}$  z pojedynczych cyklow, a mających wspólny osadnik pyłu [6, 9, 10]. Nasuwa się stąd prosty wniosek, że system odprowadzania zanieczyszczeń do jednego wspólnego osadnika nie zapewnia jednakowego stopnia odsysania z każdego cyklu wchodzącego w skład multicyklonu. Wynika stąd konieczność poszukiwania doskonalszych rozwiązań sposobu odprowadzenia strumienia odsysania.

## 2. Wpływ konstrukcji multicyklu na równomierność odsysania pyłu z pojedynczych cyklow

Odsysanie pyłu odbywa się dzięki wytworzeniu strumienia powietrza  $Q_s$ , stanowiącego część strumienia powietrza wylotowego (zanieczyszczonego)  $Q_0$  do multicyklu (rys. 1) i wzór (1), gdzie:  $Q_G$  – strumień powietrza wylotowego z filtra wlotowego do silnika.

Z analizy dostępnych rozwiązań konstrukcyjnych multicyklow i ich układów odsysania pyłu z osadnika wynika, że jeżeli osadnik pyłu obejmuje swym zasięgiem kilkadesiąt cyklow, a odsysanie pyłu z osadnika następuje dwoma lub jednym króćcem, to występuje wtedy [2, 4, 6, 10, 13]:

- zróżnicowanie wartości strumieni odsysania z poszczególnych cyklow,
- wzajemne oddziaływanie zawirowanych strumieni wypływających z cyklow i wpływających do wspólnej komory osadnika pyłu,
- możliwość przepływu zwrotnych w cyklow umiejscowionych na obrzeżu multicyklu.

Analizę wpływu konstrukcji multicyklu i jego osadnika pyłu na wartości strumieni odsysanych  $Q_{SC}$  z pojedynczych cyklow filtrów powietrza silników pojazdów specjalnych wykonano na trzech multicyklonach o roboczych nazwach T1, T2, T3 [7].

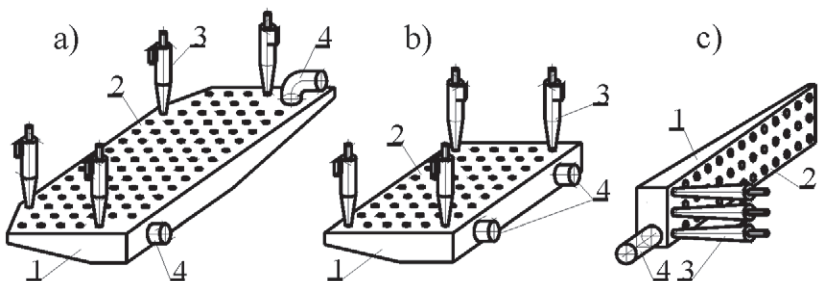


Fig. 2. Air filter multi-cyclone designs: a) T1 multicyclone, b) T2 multicyclone, c) T3 multicyclone, 1 – dust collector, 2 – cyclone mounting plate, 3 – cyclone, 4 – extraction port

Rys. 2. Konstrukcje multicyklow filtrów powietrza: a) multicyklon T1, b) multicyklon T2, c) multicyklon T3, 1 – osadnik pyłu, 2 – płytka mocująca cyklowy, 3 – cyklon, 4 – króćce odsysania

wall of the multi-cyclone dust collector (T2, T3) – Fig. 2. The cyclones are arranged in varying distances from the outlet extraction port. The last cyclone is 5 to 8 times farther from the outlet extraction port than the first cyclone, which affects the extraction stream value for the individual cyclones. This design of the dust collector and the dust extraction system results from limited space for air filter installation in a vehicle.

The  $Q_{SC}$  streams extracted from a single cyclone of the T1 multi-cyclone have different values (Fig. 3). Irrespective of the extracted  $Q_{SF}$  stream value, for cyclones with the extraction stream outlet situated near the extraction ports of the multicyclone dust collector the  $Q_{SC}$  values are the highest:  $Q_{SC} = 2.5\text{--}5.95 \text{ m}^3/\text{h}$  ( $0.89\text{--}2.13 \text{ g/s}$ ) (Fig. 3). The  $Q_{SC}$  streams extracted from the middle cyclones of the tested row that are situated in a specific distance from the extraction

Ogólna konstrukcja wybranych do badań multicykilonów (T1, T2, T3) filtrów powietrza silników jest taka sama. Na prostokątnej płycie (rys. 2), będącej górną ścianą osadnika pyłu umocowane są cyklony, rozmieszczone w rzędach i kolumnach. Multicykliny T1, T2 zbudowane są z tych samych, pionowo ustawionych cykilonów D-40 (zwrótny z wlotem stycznym) o średnicy wewnętrznej części cylindrycznej  $D = 40 \text{ mm}$ , których liczba wynosi odpowiednio: 96 i 54. Multicyklon T3 zbudowany jest z 39. poziomo zamocowanych cykilonów zwrotnych z wlotem stycznym o średnicy wewnętrznej  $D = 35 \text{ mm}$ .

Osadnik pyłu badanych multicykilonów jest pustą wewnątrz komorą o kształcie zbliżonym do płaskiego prostopadłościanu. Odsysanie pyłu realizowane jest punktowo jednym (T3) lub dwoma (T1, T2) króćcami umieszczonymi na ścianie czołowej osadnika pyłu multicyklonu (T2, T3)

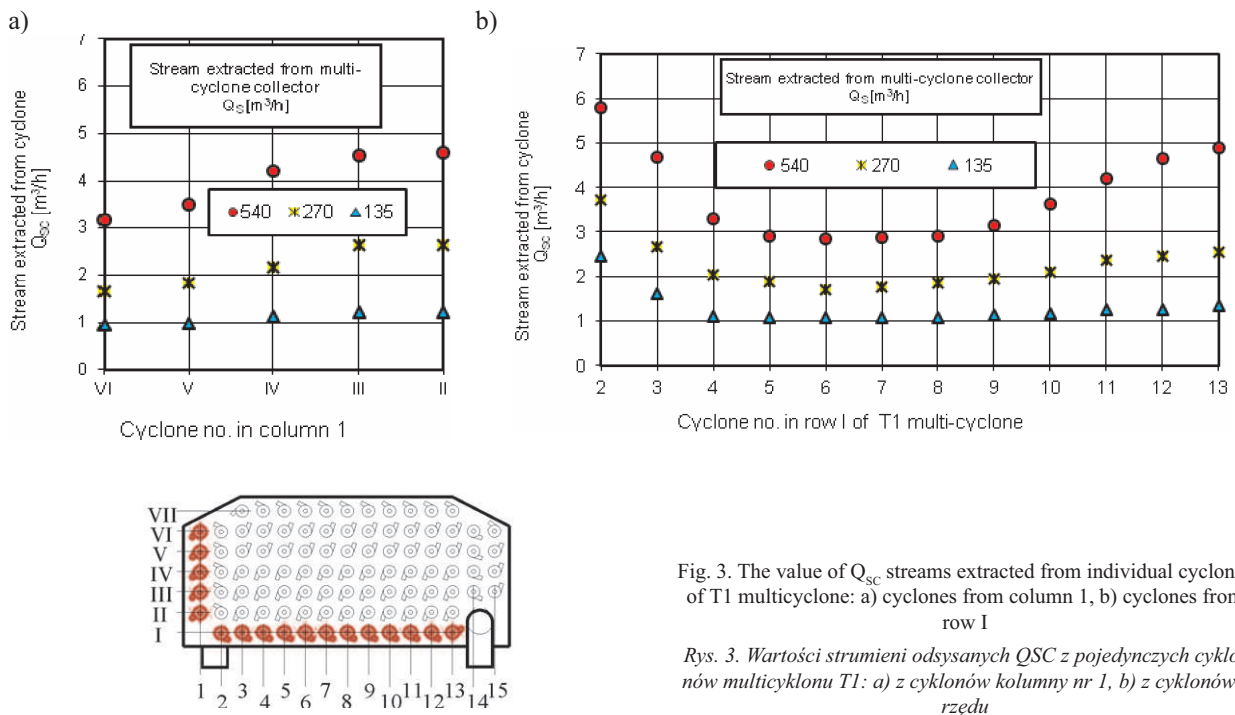


Fig. 3. The value of  $Q_{SC}$  streams extracted from individual cyclones of T1 multicyclone: a) cyclones from column 1, b) cyclones from row I

Rys. 3. Wartości strumieni odsysanych  $Q_{SC}$  z pojedynczych cykilonów multicyklonu T1: a) z cykilonów kolumny nr 1, b) z cyklonów I rzędu

ports are  $Q_{SC} = 1.05\text{--}2.95 \text{ m}^3/\text{h}$  ( $0.38\text{--}1.06 \text{ g/s}$ ), these values are more than 50% lower.

With the increase of the distance from the front of the dust collector (extraction ports) to the rear wall of the multicyclone, a systematic decrease of the extracted  $Q_{SC}$  stream values is observed (Fig. 3a). In the last (VII) row of cyclones, the streams extracted from individual cyclones have half the value compared to the cyclones in the first (I) row of the multi-cyclone.

The results of identical tests carried out for the T2 and T3 multicyclones confirm that the highest  $Q_{SC}$  values occur, regardless of the main extraction  $Q_{SF}$  stream value, for the cyclones which are the nearest to the extraction port outlet of the multicyclone dust collector, and the value decreases systematically with the distance, affecting the dust extraction efficiency.

The main reason for extraction stream non-uniformity is

– rys. 2. Cyklony względem otworu wylotowego króćca odsysania są rozmieszczone w różnej odległości. Ostatni w rzędzie cyklon znajduje się w odległości 5 do 8 razy większej niż cyklon położony najbliżej otworu wylotowego króćca odsysania. Ma to niewątpliwie wpływ na wartość strumienia odsysania z poszczególnych cykilonów. Takie rozwiązania konstrukcyjne osadników oraz układów odprowadzenia pyłu wynikają z ograniczonej przestrzeni przeznaczonej na zabudowę filtra powietrza w pojeździe.

Strumienie odsysane  $Q_{SC}$  z pojedynczych cykilonów multicyklonu T1 przyjmują bardzo zróżnicowane wartości (rys. 3). Niezależnie od wartości strumienia odsysania  $Q_{SF}$  dla cykilonów, których wyłot strumieni odsysania znajduje się blisko króćców odsysania z osadnika multicyklonu, wartości  $Q_{SC}$  są największe i zawierają się w zakresie  $Q_{SC} = 2.5\text{--}5.95 \text{ m}^3/\text{h}$  ( $0.89\text{--}2.13 \text{ g/s}$ ). Strumienie  $Q_{SC}$  odsysane

the diversification of the flow resistance of the streams in the dust collector, at the cyclone – extraction port section for each cyclone. It is due to varying section lengths, determined by the position of the cyclone in relation to the extraction port and the effect of the collector walls on the streams extracted from the cyclones adjacent to the walls, and also the whirls in the total stream extracted from the collector.

### 3. Possible designs for the dust extraction process for a multicyclone dust collector

Three basic methods to obtain a uniform stream extracted from individual cyclones are available [4, 8, 11, 13]:

- maintaining position symmetry – the design of the collector shall maintain the symmetry of all cyclones in relation to the extraction port,
- creating uniform flow resistance of extracted streams by throttling the flow for the cyclones in which the flow resistance is higher in comparison to the other cyclones,
- combined method – a combination of both methods.

The only method of maintaining the symmetry of the position of the cyclones is if they are arranged on the circumference of a circle. This results in unused area being left in the centre the size of which depends on the number of cyclones used. Fig. 4 Since no extra space is usually available in the engine compartment, this design of the dust collector is impractical.

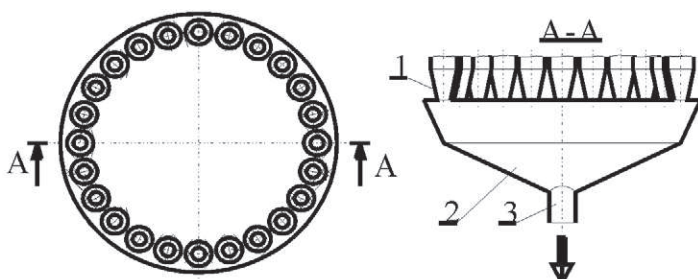


Fig. 4. Diagram of a dust collector with symmetrical position of all cyclones in relation to the extraction port: 1 – cyclone, 2 – collector, 3 – extraction line port

Rys. 4. Schemat osadnika z zachowaniem symetrii położenia wszystkich cykilonów w odniesieniu do króćca odsysania: 1 – cyklon, 2 – osadnik, 3 – króćec przewodu odsysania

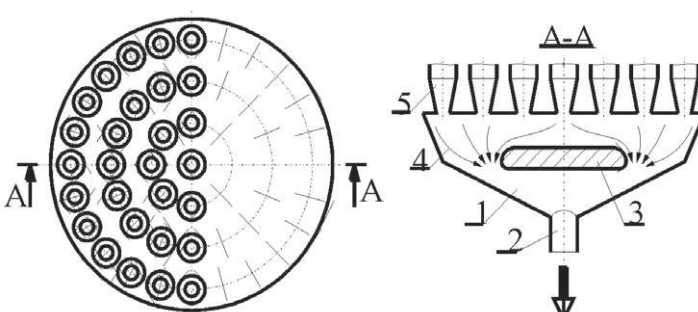


Fig. 5. Dust collector with an intermediate inlet: 1 – collector, 2 – extraction line port, 3 – deflector, 4 – stream lines, 5 – cyclone

Rys. 5. Schemat osadnika z wlotem pośrednim do przewodu odsysania: 1 – osadnik, 2 – króćec przewodu odsysania, 3 – przegroda (deflektor), 4 – linie przepływu strumienia, 5 – cyklon

z cykilonów śródkowych badanego rzędu, a znajdujących się w pewnym oddaleniu od króćców odsysania, przyjmują wartości w granicach  $Q_{SC} = 1,05\text{--}2,95 \text{ m}^3/\text{h}$  ( $0,38\text{--}1,06 \text{ g/s}$ ), a więc są o ponad 50% mniejsze.

Wraz z oddalaniem się położenia cykilonów od czoła osadnika pyłu (od króćców odsysania) ku tylnej ścianie multicykilonu, następuje systematyczny spadek wartości strumieni odsysanych  $Q_{SC}$  (rys. 3a). W ostatnim rzędzie (VII) cykilonów strumienie odsysane z pojedynczych cykilonów przyjmują wartości o połowę mniejsze niż w rzędzie pierwszym (I) multicykilonu.

Wyniki takich samych badań przeprowadzonych dla multicykilonu T2 i T3 potwierdzają zaobserwowane wcześniej zjawisko, że największe wartości  $Q_{SC}$  występują, niezależnie od wartości głównego strumienia odsysania  $Q_{SF}$ , dla cykilonów znajdujących się najbliżej otworu wylotowego króćca odsysania osadnika pyłu multicykilonu, a wraz z oddalaniem się położenia cykilonów od tego miejsca następuje ich systematyczny spadek, co wpływa niewątpliwie na skuteczność odpylania cykilonów.

Zasadniczą przyczyną nierównomierności strumieni odsysających z cykilonów jest zróżnicowanie oporów przepływu tych strumieni w osadniku odpylacza, na odcinku cyklon – króćec odsysania, dla poszczególnych cykilonów. Wynika ono przede wszystkim z niejednakowych długości wspomnianych odcinków, zdeterminowanych położeniem cykilonu względem króćca odsysania oraz oddziaływaniem ścian osadnika na strumienie odsysane z cykilonów położonych w ich pobliżu, a także ewentualnym występowaniem obszarów zawirowań w sumarycznym strumieniu odsysanym w osadniku.

### 3. Możliwości organizacji procesu odsysania pyłu z odpylaczy multicyklonowych

Można wyróżnić trzy podstawowe sposoby prowadzące do uzyskania względnej równomierności strumieni odsysanych z pojedynczych cykilonów [4, 8, 11, 13]:

- zachowanie symetrii położenia – sposób ten polega na wykonaniu konstrukcji osadnika, tak aby zachowana była symetria położenia wszystkich cykilonów w odniesieniu do króćca odsysania,
- wytworzenie jednakowych oporów przepływu strumieni odsysanych przez celowe, odpowiednio dobrane ich dławienie z tych cykilonów, dla których opory przepływu są mniejsze niż dla pozostałych,
- sposób kombinowany – będący odpowiednim konstrukcyjnym połączeniem obu wymienionych zabiegów.

Jedyną możliwością uzyskania symetrii położenia jest umieszczenie wszystkich cykilonów wzdłuż obwodu koła. To sprawia, że w środkowej części płyty pozostaje niewykorzystana powierzchnia, tym większa, im więcej cykilonów wchodzi w skład odpylacza – rys. 4. W komorach silnikowych pojazdów nie ma zwykle nadmiaru wolnej przestrzeni i stąd wynika mała praktyczna przydatność tego rodzaju budowy odpylacza.

Maintaining a uniform extraction stream flow resistance by throttling and directing the streams can be achieved with the following methods:

- an intermediate inlet to the extraction port in a multi-cyclone collector,
- collector divided into independent ducts,
- components throttling the extraction stream flow at the outlet of selected cyclones.

Intermediate inlet for the extraction stream from the cyclones in a dust collector may be created with a special deflector inside the collector over the extraction port inlet. It should provide the required distribution of the extraction streams from the individual cyclones (Fig. 5). This solution is very difficult to implement since it requires a complex calculation model and complex and time-consuming experiments.

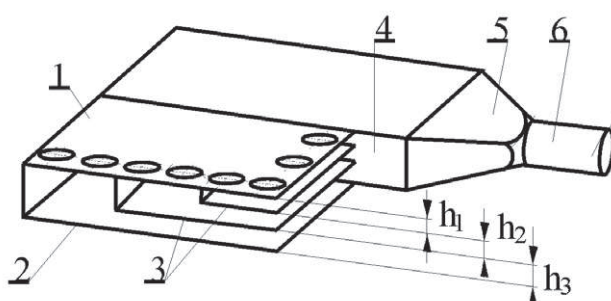


Fig. 6. Schematic diagram of a collector divided into individual ducts:

- 1 – cyclone mounting plate,
- 2 – collector bottom,
- 3 – deflectors,
- 4 – horizontal wall,
- 5 – intermediate duct,
- 6 – extraction port

Rys. 6. Schemat ideowy podziału osadnika na niezależne kanały:  
1 – płyta mocowania cykilonów, 2 – dno osadnika, 3 – przegrody,  
4 – ściana pionowa, 5 – kanał przejściowy, 6 – króćce odsysania

The other method of maintaining a uniform stream value for the individual cyclones is to divide the collector with several deflectors and to create independent, isolated extraction ducts inside the collector assigned to specific groups of individual cyclones (Fig. 6). The heights  $h_1$ ,  $h_2$ ,  $h_3$  of ducts created by the deflectors inside the collector must be calculated to maintain a uniform resistance of flow through the ducts. These heights are determined by experimental studies.

Each individual extraction duct inside the collector should include a small group of cyclones. The width may include 3 to 4 cyclones, and the length 1 to 4 cyclones depending on the duct height at the extraction point. If the width includes more cyclones, the chamber must be divided (Fig. 6) with a vertical wall 4 to fit the required number of cyclones. Each segment should have an individual extraction port. This method can be used to modify dust collectors in existing filters, which does not provide required efficiency.

In cyclone dust collectors consisting of dozens of cyclones, various ejection extraction methods are available. The specific method and the means of providing uniform extraction stream values for all individual cyclones depend not only on their efficiency, but also on the multi-cyclone

Wyrównywanie oporów przepływu strumieni odsysających cykilonów przez dławienie i ukierunkowanie strumieni wybranych można realizować następującymi sposobami:

- przez umieszczenie w osadniku multicyklonu pośredniego wlotu do króćca odsysania,
- przez podział komory osadczej na niezależne kanały,
- za pomocą elementów dławiących przepływ strumienia odsysania umieszczonych na wylotach wybranych cykłów.

Wlot pośredni strumieni odsysania z cykilonów w osadniku pyłu można utworzyć przez wprowadzenie do osadnika ukształtowanej przegrody – deflekторa nad wlotem króćca odsysania. Powinien on zapewnić pożądany rozkład linii prądu strumieni odsysania wypływających z pojedynczych cykilonów – rys. 5. Rozwiązywanie to jest trudne do opracowania, gdyż wymaga zastosowania złożonego modelu obliczeniowego, a następnie skomplikowanych i czasochłonnych badań eksperymentalnych.

Kolejny sposób prowadzący do urównomiernienia wartości strumienia odsysania z pojedynczych cykilonów polega na podziale osadnika kilkoma przegrodami i utworzeniu w ten sposób niezależnych, odizolowanych od siebie kanałów odsysania wewnętrz osadnika, przyporządkowanych określonym grupom pojedynczych cykilonów – rys. 6. Wysokości kanałów  $h_1$ ,  $h_2$ ,  $h_3$ , utworzonych przez przegrody w osadniku, należy dobrze pod względem uzyskania jednakowych oporów przepływu przez kanały na drodze obliczeniowej. Ostatecznego doboru wysokości kanałów należy dokonać podczas badań eksperymentalnych.

Każdy z indywidualnych kanałów odsysania w osadniku powinien obejmować niezbyt liczną grupę cykilonów. Na szerokości kanału mogą być 3...4 cykly, a na długości 1...4, w zależności od wysokości kanału w miejscu, w którym następuje odsysanie z cykilonów. Jeżeli na szerokości odpylacza jest więcej cykilonów, to należy komorę osadnika podzielić (rys. 6) szczerą ścianą pionową 4, tak by w segmentach powstały z podziału szerokości mieściła się wymagana liczba cykilonów. Każdemu segmentowi powinien być przyporządkowany oddzielny króćec odsysania. Ten sposób kształtuowania osadnika nadaje się w szczególności do modyfikowania osadników w istniejących, już eksploatowanych filtrach, które nie zapewniają spodziewanej skuteczności odpylania.

W odpylaczach cyklonowych zbudowanych z kilkudziesięciu cykilonów możliwe jest stosowanie różnych sposobów organizowania ejekcyjnego odsysania. Wybór określonej metody i zastosowanego sposobu, zmierzającego do zapewnienie jednakowych wartości strumieni odsysania ze wszystkich pojedynczych cykilonów, zależy nie tylko od ich efektywności, ale także od formy multicyklonu, liczby cykilonów i konfiguracji odpylacza, ograniczeń przestrzennych w miejscu jego zainstalowania.

#### 4. Koncepcja układu odsysania pyłu z multicyklonu

Dla zapewnienia równomiernego odsysania strumieni z pojedynczych cykilonów multicyklonu T1 najbardziej

design, the number of cyclones, the dust extractor design, and spatial limitations.

#### 4. The concept of multi-cyclone dust extraction system

To provide uniform extraction of streams from the individual cyclones of the T1 multicyclone, the design of a dust collector must be modified: it is divided into segments with deflectors, and the segments are divided into individual, separated extraction ducts assigned to a specific number of individual cyclones. (Fig. 7)

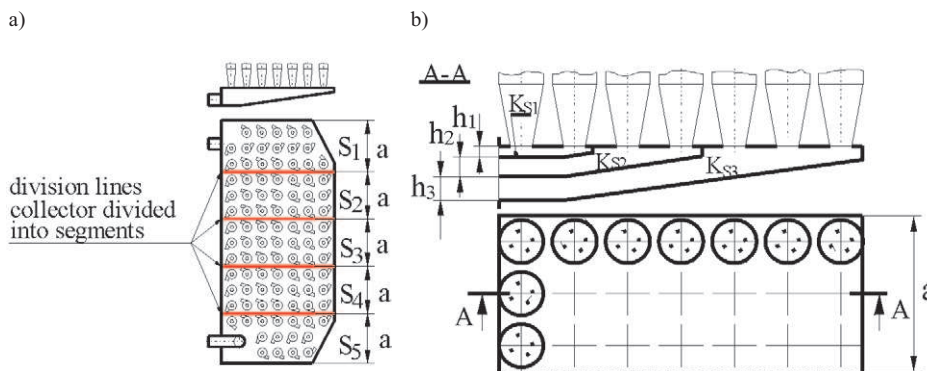


Fig. 7. The concept of dust extraction from T1 multi-cyclone: a) schematic diagram of multicyclone dust collector divided into segments, b) method of dividing segments into extraction ducts

Rys. 7. Koncepcja odsysania pyłu z multicykilonem T1: a) schemat ideowy podziału osadnika pyłu multicykilonu na segmenty, b) zasada podziału komory osadnika pyłu segmentu na kanały odsysania

The T1 multi-cyclone dust collector was divided at its width with deflectors into five identical and individual segments S with the width of  $a$ . Each segment includes 3 cyclone columns (seven cyclones in a column) and constitutes a single module. The segments (Fig. 7b) were divided with horizontal parallel deflectors into three separate extraction ducts ( $K_{S1}$ ,  $K_{S2}$ ,  $K_{S3}$ ) with different heights  $h_1$ ,  $h_2$ ,  $h_3$ . Each segment may include a different number of extraction ducts and cyclones. In a similar way, the T3 multi-cyclone dust collector was divided into three segments, each with a column of 13 cyclones.

The main issue when dividing a segment into extraction ducts is determining the proper height of each horizontal partition  $h_1$ ,  $h_2$ , ...  $h_i$ . The height of an extraction duct must be calculated and verified with the tests of an actual dust collector segment.

A schematic diagram of a multicyclone dust collector of a mechanical vehicle air filter (Fig. 8) can be applied for calculations of various dust collectors, with the same design, i.e. divided into segments and extraction ducts.

The following assumptions were made:

- duct walls are parallel,
- duct 1 extracts air from the six cyclones from the first two rows, duct 2 extracts air from the six cyclones from the next two rows, duct 3 extract air from the last three rows,

odpowiedni wydaje się sposób polegający na zmianie struktury osadnika pyłu multicykilonu przez podział przestrzeni osadnika pyłu przegrodami na segmenty, a segmentu na niezależne, odizolowane od siebie kanały odsysania, którym należy przyporządkować określone grupy pojedynczych cykilonów – rys. 7.

Komorę osadnika pyłu multicykilonu T1 podzielono na szerokości ścianami wewnętrznymi (przegrodami) na pięć jednakowych i niezależnych części (segmentów S) o szerokości  $a$ . Każda z nich obejmuje 3 kolumny cykilonów (siedem cykilonów w kolumnie) i stanowi segment – moduł. Komory osadników segmentów (rys. 7b) podzielono poziomymi (równoległymi do siebie) przegrodami na trzy odrębne kanały odsysania ( $K_{S1}$ ,  $K_{S2}$ ,  $K_{S3}$ ) o różnych wysokościach  $h_1$ ,  $h_2$ ,  $h_3$ . Segment może zawierać różne liczby kanałów odsysania, a do każdego może być przypisana inna liczba cykilonów. W podobny sposób z osadnika pyłu multicykilonu T3 wyodrębniono 3 segmenty. Każdemu przyporządkowano kolumnę 13 cykilonów.

Podstawowym problemem przy podziale komory osadnika segmentu na kanały odsysania jest ustalenie poziomych przegród na odpowiednich wysokościach  $h_1$ ,  $h_2$ , ...  $h_i$ . Wysokości kanałów segmentu osadnika pyłu należy określić na drodze obliczeniowej, a następnie zweryfikować je eksperymentalnie podczas badań rzeczywistego segmentu osadnika pyłu.

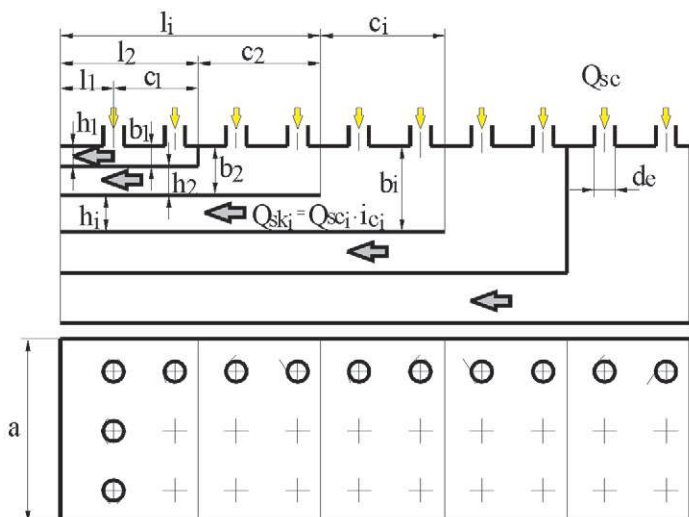


Fig. 8. Schematic diagram of a dust collector segment: a – segment width, b – height of chamber, c – length of chamber, l – length of outlet duct, d<sub>e</sub> – diameter of relief port, h – total height of collector, h<sub>i</sub> – height of i-th duct, i – number of consecutive ducts

Rys. 8. Schemat ideowy segmentu osadnika pyłu: a – szerokość segmentu, b – wysokość komory, c – długość komory, l – długość kanału wylotowego, d<sub>e</sub> – średnica otworu upustowego, h – wysokość całkowita osadnika, h<sub>i</sub> – wysokość i-tego kanału, i – numer kolejny kanału

- extraction duct includes a chamber with length  $c_i$  and outlet duct with length  $l_i$ , where  $i$  is the consecutive duct number,
- the chamber and the inlet duct are divided with the plane where the chamber area ends with an offset in the flow direction from the chamber height  $b_i$  to the duct height  $h_i$ ,
- in the first duct, due to the lack of an offset (duct and chamber height are identical  $h_1 = b_1$ ), the division plane is a cross-section of the extraction chamber in the plane of the axis of the first row of cyclones,
- an inclination of a lower segment walls is not allowed for, due to the low angle ( $\alpha = 6^\circ$ ), so that the chamber is a cuboid.
- due to low flow rate in the extraction ducts (below 4 m/s) and very small relative pressure loss in relation to the environment, the air density is uniform and equal to the surrounding air density.

The air stream (with separated dust) flows directly to the chamber of each extraction duct from the cyclones via the extraction ports with a diameter of  $d_e$ :

$$Q_{ski} = Q_{sci} \cdot i_{ci} \quad (2)$$

where:  $Q_{sci}$  – the air stream extracted from an individual cyclone of the  $i$  duct,  $i_{ci}$  – number of cyclones in a specific extraction duct.

The main issue is to determine the pressure loss at the extraction ducts of the collector segment. Two main reasons for pressure loss in the actual design (extraction duct) were considered: the air stream whirls due to the change in the duct cross-section and the friction between the air stream and the duct wall.

Three types of pressure loss were considered for the air stream flow via the extraction duct of a dust collector segment (Fig. 9):

$\Delta p_e$  – local pressure loss due to the reduction of the stream flow rate and the mixing of the streams and due to the flow of  $Q_{sc}$  streams from the cyclones to the segment chamber.  $\Delta p_w$  – local flow pressure loss of  $Q_{sk}$  stream flowing to the duct via an inlet on the side wall of the chamber. In this case we can assume that the flow is via a duct with a reduced cross-section.

$\Delta p_k$  – pressure loss due to friction during the stream flow via a duct with a uniform cross-section.

Total pressure loss due to air stream flow via  $i$  duct is expressed as:

$$\Delta p_{ksi} = \Delta p_{ei} + \Delta p_{wi} + \Delta p_{ki} \quad (3)$$

The local pressure loss  $\Delta p_{ei}$  due to the  $Q_{sci}$  air stream flow to the chamber of  $i$  duct is expressed as:

$$\Delta p_{ei} = \zeta_e \frac{\rho}{2} v_e^2 \quad (4)$$

where:  $\rho$  – air density,  $\zeta_e$  – coefficient of flow resistance,  $v_e$  – air flow rate from the extraction duct chamber – air flow rate at the outlet (discharge) of a cyclone with diameter  $d_e$  is calculated as follows:

Schemat ideowy segmentu osadnika multicyklonu filtra powietrza pojazdu mechanicznego (rys. 8) może mieć zastosowanie do obliczeń różnych osadników, ale o tej samej zasadzie konstrukcji, to znaczy z podziałem na segmenty i kanały odsysania.

Podczas obliczeń stosowano następujące zasady:

- odpowiednie ściany kanałów są w stosunku do siebie równoległe,
- kanał nr 1 odsysa powietrze z sześciu cykilonów ustawionych w dwóch pierwszych rzędach, kanał nr 2 odsysa powietrze z sześciu cykilonów z następnych dwóch rzędów, a kanałowi nr 3 przyporządkowano trzy ostatnie rzędy cykilonów,
- w kanale odsysania wyodrębniono komorę o długości  $c_i$  i kanał wylotowy o długości  $l_i$ , gdzie  $i$  oznacza numer kolejny kanału,
- granicą podziału komory i kanału wlotowego jest płaszczyna, gdzie przestrzeń komory kończy się uskokiem przekroju w kierunku przepływu od wysokości komory  $b_i$  do wysokości kanału  $h_i$ ,
- w kanale pierwszym, ze względu na brak uskoku (wysokości kanału i komory są jednakowe  $h_1 = b_1$ ), jako granicę podziału komory i kanału wylotowego przyjęto przekrój kanału odsysania w płaszczyźnie osi cykilonów pierwszego rzędu,
- nie uwzględniono pochylenia fragmentów dolnych ścian segmentów mających mały kąt pochylenia dolnych ścian ( $\alpha = 6^\circ$ ), w związku z czym komora ma formę prostopadłościenną,
- z uwagi na niewielkie prędkości przepływu występujące w kanałach odsysania (poniżej 4 m/s) oraz bardzo małe względne spadki ciśnienia w stosunku do otoczenia, wartość gęstości powietrza można przyjąć jednakową, równą gęstości powietrza w otoczeniu.

Do komory każdego kanału odsysania dopływa bezpośrednio z cykilonów otworami o średnicy  $d_e$  strumień powietrza (z odseparowanymi częstotliwościami pyłu) o wielkości (2), gdzie:  $Q_{sci}$  – strumień powietrza odsysany z pojedynczego cykilonu  $i$ -tego kanału odsysającego,  $i_{ci}$  – liczba cykilonów objęta kanałem odsysania.

Podstawowym zagadnieniem w obliczeniach przepływowych osadnika jest ustalenie strat ciśnienia w kanałach odsysania segmentu osadnika. Podczas obliczeń uwzględniono dwie zasadnicze przyczyny strat ciśnienia występu-

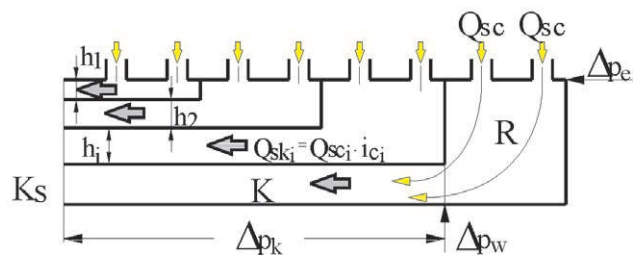


Fig. 9. Schematic diagram of a collector segment of the air filter multi-cyclone:  $K_s$  – extraction duct  $R$  – chamber,  $K$  – outlet duct

Rys. 9. Schemat ideowy segmentu osadnika multicyklonu filtra powietrza:  $K_s$  – kanał odsysania,  $R$  – komora,  $K$  – kanał wylotowy

$$v_e = \frac{Q_{SC}}{A_e} \quad (5)$$

The coefficient of flow resistance  $\zeta_e$  is calculated as follows:

$$\zeta_{ei} = (1 - \frac{A_e}{A_{ci}}) \quad (6)$$

where:  $A_e$  – cross-sectional area of a cyclone discharge port (diameter  $d_e$ ),  $A_{ci}$  – area of the top chamber wall (Fig. 10) where the cyclones are installed, calculated as follows:

$$A_{ci} = a \cdot c_i \quad (7)$$

Local pressure loss due to the  $Q_{ski}$  extraction stream flow via a rectangular duct with dimensions of  $a$  and  $h_i$  (Fig. 10) is expressed as follows:

$$\Delta p_{wi} = \zeta_{wi} \frac{\rho}{2} v_{ki}^2 \quad (8)$$

where:  $v_{ki}$  – air flow rate in the duct with height  $h_i$  and width  $a$ ,  $\zeta_{wi}$  – coefficient of flow resistance, depending on the ratio of cross-section area of the outlet duct  $A_{hi}$  and the area of a front chamber wall  $A_{bi}$  [12]:

$$\zeta_{wi} = \frac{1}{2} (1 - \frac{A_{hi}}{A_{bi}}) \quad (9)$$

The air flow rate  $v_{ki}$  inside a duct with height  $h_i$  and width  $a$  is calculated as follows:

$$v_{ki} = \frac{Q_{SKI}}{h_i \cdot a} \quad (10)$$

The pressure loss in the outlet duct is expressed as follows:

$$\Delta p_{ki} = \lambda_{ki} \frac{\rho}{2} v_{ki}^2 \frac{l_i}{d_n} \quad (11)$$

where:  $\lambda_{ki}$  – coefficient of pressure loss inside the duct,  $l_i$  – duct length,  $d_n$  – equivalent duct diameter.

The Mises equation was used to calculate the coefficient  $\lambda_{ki}$ , where the value depends on the lateral dimensions of a duct, flow pattern and material roughness of the duct walls [3]:

$$\lambda_{ki} = 0.0096 + 4 \sqrt{\frac{2 \cdot K_s}{d_{ri}}} + 1,2 \sqrt{\frac{2}{Re_{ki}}} \quad (12)$$

where:  $K_s$  – coefficient of duct wall roughness,  $Re_{ki}$  – Reynolds number in accordance with the following dependence:

$$Re_{ki} = \frac{d_{ri} \cdot v_{ki}}{\nu} \quad (13)$$

where:  $\nu$  – air kinematic viscosity.

Due to the rectangular shape of the outlet duct, its equivalent diameter  $d_r$  should be calculated with the following formula:

$$d_{ri} = \frac{2 \cdot a \cdot h_i}{a + h_i} \quad (14)$$

jace w obiekcie rzeczywistym–kanale odsysania. Są nimi zawirowania strumienia powietrza, które pojawiają się przy nagłych zmianach przekroju kanału przepływowego oraz tarcie powietrza o ściany kanału.

Podczas przepływu strumienia powietrza przez kanał odsysania z segmentu osadnika pyłu przyjęto trzy rodzaje strat ciśnienia – rys. 9:

$\Delta p_e$  – lokalna strata ciśnienia powstająca na skutek zmniejszenia prędkości strumienia oraz mieszanie strumieni i występująca przy napływie strumieni  $Q_{SC}$  z cyklonów do komory segmentu,

$\Delta p_w$  – lokalna strata ciśnienia przepływu strumienia  $Q_{SKI}$  wpływającego do kanału przez wlot umieszczony w ścianie bocznej komory. W tym przypadku można uznać, że występuje przepływ przez kanał o nagłym zwężeniu przekroju,  $\Delta p_k$  – strata ciśnienia wynikła z tarcia podczas przepływu strumienia przez kanał o stałym przekroju.

Sumaryczną stratę ciśnienia podczas przepływu strumienia powietrza przez  $i$ -ty kanał odsysania określa zależność (3).

Lokalną stratę ciśnienia  $\Delta p_{ei}$  przy napływie strumienia powietrza  $Q_{SCI}$  do komory  $i$ -tego kanału można przedstawić wyrażeniem (4), gdzie:  $\rho$  – gęstość powietrza,  $\zeta_e$  – współczynnik oporu przepływu,  $v_e$  – prędkość dopływu powietrza do komory kanału odsysania – prędkość powietrza w otworze odprowadzenia strumienia odsysania (upustowym) cyklonu o średnicy  $d_e$  obliczona z zależności (5).

Współczynnik oporu przepływu  $\zeta_e$  należy określić z zależności (6), gdzie:  $A_e$  – pole przekroju poprzecznego otworu (o średnicy  $d_e$ ) odprowadzenia strumienia odsysania z cyklonu,  $A_{ci}$  – pole powierzchni górnej ściany komory (rys. 10), w której zamocowane są cyklony obliczone z zależności (7).

Lokalną stratę ciśnienia podczas przepływu strumienia odsysania  $Q_{SKI}$  przez prostokątny otwór kanału o wymiarach  $a$  i  $h_i$  (rys. 10) przedstawia zależność (8), gdzie:  $v_{ki}$  – prędkość powietrza w kanale o wysokości  $h_i$  i szerokości  $a$ ,  $\zeta_{wi}$  – współczynnik oporu przepływu zależny od stosunku pola poprzecznego otworu kanału wylotowego  $A_{hi}$  do pola ściany czołowej komory  $A_{bi}$  [12] – wzór (9).

Prędkość  $v_{ki}$  powietrza w kanale o wysokości  $h_i$  i szerokości  $a$  należy obliczyć z zależności (10).

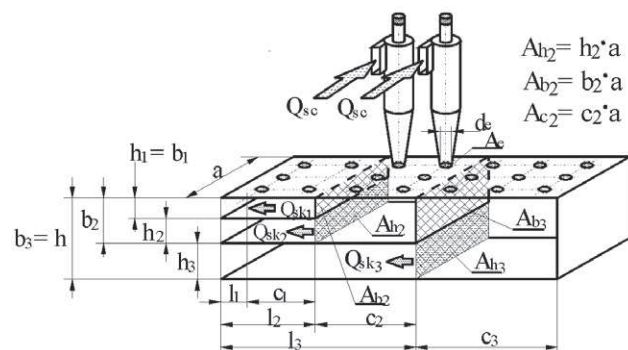


Fig. 10. Schematic diagram (for numerical calculations) of a dust collector segment with three extraction ducts

Rys. 10. Schemat ideowy (do obliczeń numerycznych) segmentu osadnika pyłu o trzech kanałach odsysania

The flow calculations are based on the relation between the total pressure loss at each extraction duct, assuming initially the number of ducts  $k$  and their uniform height  $h_i$ :

$$h_1 = h_2 = h_3 = \frac{h}{k} \quad (15)$$

The task is to calculate such heights  $h_1, h_2, h_3, \dots, h_i$  of the extraction ducts (with constant segment width  $a$  and constant collector chamber height  $h$ ) so that the total pressure losses in the extraction ducts at the section between the cyclone outlets and the extraction duct outlet are similar:

$$\Delta p_{KS1} = \Delta p_{KS2} = \Delta p_{KS3} = \dots = \Delta p_{KSi} \quad (16)$$

A method of successive approximation was used with a custom calculation program [6] for the following data – Table 1.

The heights  $h_i$  of the ducts at the dust collector segment outlet of the T1 multi-cyclone are as follows:  $h_1 = 12$  mm,  $h_2 = 19$  mm,  $h_3 = 26$  mm.

Strata ciśnienia w kanale wylotowym ujmuje zależność (11), gdzie:  $\lambda_{ki}$  – współczynnik strat ciśnienia w kanale,  $l_i$  – długość kanału,  $d_r$  – średnica równoważna kanału.

Do obliczenia współczynnika  $\lambda_{ki}$  zastosowano wzór Misesa, który uzależnia jego wartość od wymiarów poprzecznych kanału, rodzaju przepływu i szorstkości materiałów, z których wykonane są ściany kanału [3] – wzór (12), gdzie:  $K_s$  – współczynnik charakteryzujący szorstkość ścian kanału,  $Re_{ki}$  – liczba Reynoldsza określona zależnością (13), gdzie:  $v$  – lepkość kinematyczna powietrza.

Ze względu na prostokątny kształt przekroju kanału wylotowego należy obliczyć jego średnicę równoważną  $d_r$  według zależności (14).

Obliczenia przepłybowe polegają na obliczeniu z wykorzystaniem przedstawionych zależności sumarycznych strat ciśnienia osobno w każdym kanale odsysania, przy wstępny założeniu liczby k kanałów i jednakowych ich wysokości  $h_i$  – wzór (15).

Zadanie sprowadza się do obliczenia takich wysokości  $h_1, h_2, h_3, \dots, h_i$  kanałów odsysania segmentu (przy stałej szero-

Table 1. Calculation data for the dust collector segment of a T1 multicyclone

Tabela 1. Dane do obliczeń numerycznych dla segmentu osadnika pyłu multicyklonu T1

Air flow at the multicyclone outlet/strumień powietrza wypływający z multicyklonu	$Q_{GF} = 3400 \text{ m}^3/\text{h},$						
Air density/gęstość powietrza	$\rho = 1.29 \text{ kg/m}^3$						
Number of cyclones in the multicyclone/liczba cykilonów w multicyklonie	$i_{cm} = 96$						
Extraction rate/stopień odsysania	$m_0 = 8\%$						
Segment width szerokość segmentu	$a = 0.095 \text{ m}$						
Assumed number of ducts/założona liczba kanałów	$k = 3$						
Number of cyclones assigned to each duct/liczba cykilonów przyporządkowana kanałom	<table border="1"> <tr> <td>no. 1</td> <td><math>i_{c1} = 6</math></td> </tr> <tr> <td>no. 2</td> <td><math>i_{c2} = 6</math></td> </tr> <tr> <td>no. 3</td> <td><math>i_{c3} = 9</math></td> </tr> </table>	no. 1	$i_{c1} = 6$	no. 2	$i_{c2} = 6$	no. 3	$i_{c3} = 9$
no. 1	$i_{c1} = 6$						
no. 2	$i_{c2} = 6$						
no. 3	$i_{c3} = 9$						

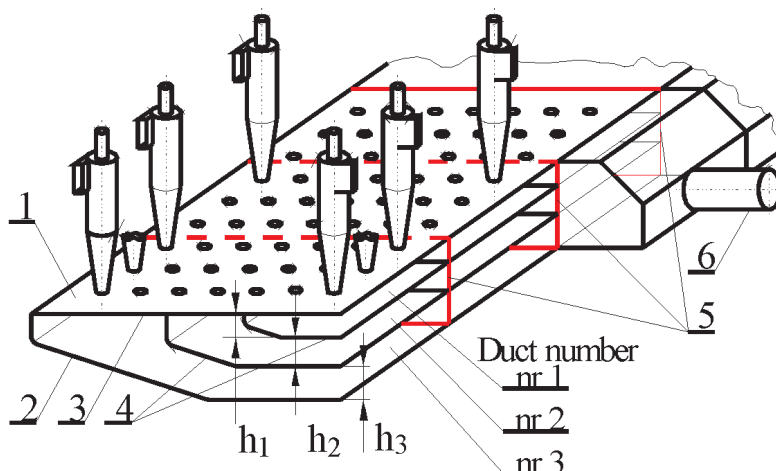


Fig. 11. Schematic diagram of a T1 multicyclone dust collector: 1 – segment, 2 – collector bottom, 3 – collector top plate, 4 – horizontal duct deflectors, 5 – segment deflectors, 6 – extraction port,  $h_1, h_2, h_3$  – extraction duct height at the outlet

Rys. 11. Schemat ideowy osadnika pyłu multicyklonu T1: 1 – segment, 2 – dno osadnika, 3 – płyta góarna osadnika, 4 – przegrody poziome rozdzielające kanały, 5 – przegrody rozdzielające segmnty, 6 – króciec odsysania,  $h_1, h_2, h_3$  – wysokości kanałów odsysających na wylocie

kości segmentu a i stałej wysokości  $h$  komory osadnika), aby sumaryczne straty ciśnienia w kanałach odsysania na odcinku pomiędzy wylotami z cykilonów a wylotem z kanału odsysania były zbliżone – wzór (16).

Obliczenia wykonano metodą kolejnych przybliżeń, specjalnie w tym celu zbudowanym programem obliczeniowym [6] dla danych podanych w tabeli 1.

Otrzymane wysokości  $h_i$  kanałów na wylocie segmentu osadnika pyłu multicyklonu T1 przyjmują odpowiednio wartości:  $h_1 = 12$  mm,  $h_2 = 19$  mm,  $h_3 = 26$  mm.

Tak ustalone wymiary segmentu posłużyły do zbudowania konstrukcji osadnika multicyklonu T1 przeznaczonej do dalszych (eksperymentalnych) badań przepłybowych – rys. 11.

## 5. Podsumowanie

Opracowany algorytm obliczeń umożliwia wstępny dobór wysokości na wylocie  $h_i$ ,

These dimensions were used to design a T1 multi-cyclone collector for further studies – Fig. 11.

## 5. Summary

The developed algorithm enables a preliminary determination of the outlet heights  $h_1, h_2, \dots, h_i$  of the individual extraction ducts of a dust collector segment so that the air stream flow resistance is uniform. The final determination of the number and the heights  $h_1, h_2, \dots, h_i$  of ducts must be carried out in experimental studies of a specific multicyclone segment.

The calculation algorithm for the multicyclone dust collector segment of a mechanical vehicle engine air filter may be used for the calculations of various duct collectors sharing the same design, i.e. divided into segments and extraction ducts. Each segment may include a different number of extraction ducts and cyclones.

The structure of the dust extractors with segments facilitates their design and allows shaping them as desired. The number of segments in a dust extractor may be adapted to the specific requirements of the engine. The basic tests are then limited to the segment, and are easy to conduct and less expensive. Dust extractor tests as a whole, usually at the final stage, concern the possible adjustment of the arrangement and the shape of the extraction ducts and the method of connecting them to the extraction stream collector.

$h_2, \dots, h_i$ , kolejnych kanałów odsysających segmentu osadnika pyłu pod względem jednakowych oporów przepływu strumieni powietrza przez kanały. Ostateczny dobór liczby i wysokości  $h_1, h_2, \dots, h_i$  kanałów należy przeprowadzić podczas badań eksperymentalnych wydzielonego segmentu multicyklonu.

Algorytm obliczeń segmentu osadnika multicyklonu filtra powietrza silnika pojazdu mechanicznego może mieć zastosowanie do obliczeń różnych osadników, ale o tej samej zasadzie konstrukcji, tzn. z podziałem na segmenty i kanały odsysania. Segment może zawierać różne liczby kanałów odsysania, a do każdego może być przypisana inna liczba cykilonów.

Konstrukcja odpylacza zbudowanego z segmentów ułatwia znacznie proces jego projektowania oraz pozwala nadać mu najbardziej dogodny kształt. Liczbę segmentów w odpylaczu można dostosować do potrzeb wynikających z właściwości silnika. Podstawowe badania ograniczają się wówczas do segmentu, przez co są znacznie prostsze i mniej kosztowne. Badania odpylacza jako całości (z reguły końcowe) dotyczą ewentualnych korekt rozmieszczenia i kształtu przewodów odsysających oraz sposobu połączenia ich z kolektorem strumienia odsysania.

Paper reviewed/Artykuł recenzowany

## Bibliography/Literatura

- [1] Cenrtisep Air Cleaner.: Materiały informacyjne firmy PALL Corporation, USA 2004.
- [2] Baczewski K., Hebda M.: Filtracja płynów eksploatacyjnych. MCNEMT, Radom 1991/92.
- [3] Bukowski J.: Mechanika płynów, PWN, Warszawa 1968.
- [4] Dzierżanowski P., Miller Z.: Poszukiwanie konstrukcyjnych sposobów podwyższania skuteczności bezwładnościowego odpylacza płaskiego. Biuletyn WAT, XL, 9 (469), 1991.
- [5] Dzierżanowski P.: Bezwładnościowy odpylacz modułowy. Biuletyn WAT, XXXV, 2 (402), 1986.
- [6] Dziubak T.: Analiza procesu filtracji powietrza wlotowego do silników pojazdów specjalnych. Rozprawa habilitacyjna. WAT, Warszawa 2008.
- [7] Dziubak T.: Model osadnika pyłu multicyklonu filtra powietrza silnika pojazdu terenowego eksploatowanego w warunkach dużego zapylenia powietrza. Zagadnienia Eksploatacji Maszyn PAN, Z. 2 (130) 2002.
- [8] Dziubak T.: Problemy odsysania pyłu z multicyklonu filtra powietrza silnika pojazdu mechanicznego eksploatowanego w warunkach dużego zapylenia powietrza. Zagadnienia Eksploatacji Maszyn PAN, Z. 1(125), 2001.
- [9] Dziubak T.: Badania eksperymentalne ejekcyjnego układu odsysania pyłu z multicyklonu filtra powietrza silnika czołgowego, VII Międzynarodowe Sympozjum IPM „Doskonalenie konstrukcji oraz metod eksploatacji pojazdów mechanicznych”, Rynia 1999.
- [10] Dziubak T.: Badania eksperymentalne ejekcyjnego układu odsysania zanieczyszczeń z filtra powietrza, Biul. WAT, XLVII, 10 (554) 1998.
- [11] Dziubak T.: Możliwości poprawy efektywności odsysania pyłu z odpylacza multicyklonowego filtra powietrza wlotowego silnika pojazdu wojskowego, 26 Międzynarodowa Konferencja Naukowa Silników Spalinowych KONES 2000 – Nałęczów 2000.
- [12] Malicki M.: Tablice do obliczania przewodów wentylacyjnych, Arkady, Warszawa 1977.
- [13] Warych J.: Oczyszczanie gazów – procesy i aparatura, WNT, Warszawa 1998.

Tadeusz Dziubak, DSc., DEng, – Professor at the Faculty of Mechanics Military University of Technology, Warsaw, Poland.

Dr hab. inż. Tadeusz Dziubak – profesor na Wydziale Mechanicznym Wojskowej Akademii Technicznej w Warszawie.

e-mail: [tdziubak@wat.edu.pl](mailto:tdziubak@wat.edu.pl)

